

电流变液中电场强度的半解析计算*

李向亭 马红孺

(上海交通大学应用物理系, 上海 200240)

(1999 年 11 月 7 日收到)

在 Bergman 表示的基础上, 建立了电介质电流变液中电场和小球表面极化电荷的表达式, 并以电流变液的基态结构——BCT 结构为例进行了数值计算. 定量讨论了多极矩的贡献与小球间距的关系, 并给出了偶极近似成立的条件.

PACC: 4120 8370 0270

1 引 言

电流变液由微小电介质颗粒悬浮于电介质液体中而成, 当加上外电场后, 其粘滞性突然增加变成类固体, 这个过程是快速可逆的, 响应时间为 ms 数量级. Winslow 1947 年就电流变效应的应用申请了美国专利^[1], 并于 1949 年详细报道了电流变效应的实验结果^[2]. 电流变效应的响应速度超过一般机械系统, 这使它的机电耦合特性具有很大的技术应用价值. 电流变液研究中的一个重要的理论问题是计算介质中的电场分布, 通常的作法是求解复合介质的 Laplace 方程可以得到电势分布, 然后用数值微分方法计算电场. 常用的求解方法有有限差分方法、有限元方法等. 由于复合介质中电场强度在两种介质交界处是不连续的, 用数值求导方法来通过电势计算两种介质边界表面附近的电场, 很难达到较高的精度.

文献^[3]曾在文献^[4, 5]有效介电常数谱表示的基础上, 推导出球形嵌入二元复合材料中静电势的表达式, 并计算了几种常见周期结构中的电势分布, 本文在上述工作的基础上, 对静电势表达式作了进一步简化, 得到了电场强度的解析表达式, 建立了计算球形嵌入复合介质中电场分布的半解析方法, 并进而得到了简洁的表面极化电荷的解析表达式, 最后以电流变液的基态结构(BCT)为例计算了电流变液中的电场分布, 讨论了表面极化电荷与小球间距

的关系, 给出了偶极近似有效的范围.

2 理 论

考虑一电流变液系统, 介质 1 为半径为 a 的固体电介质小球, 介电常数为 ϵ_1 , 散布于介电常数为 ϵ_2 的液体(如硅油)中, 放置于两平行电极之间, 电极可以视为无限大. 取垂直于极板的方向为坐标的 z 轴方向, 在外电场 E_0 作用下, 小球排列成某种周期性结构, 电势 ϕ 由 Laplace 方程及边界条件

$$\begin{aligned} \nabla \cdot (\epsilon(\mathbf{r}) \nabla \phi) &= 0, \\ \phi(x, y, z = -\frac{L}{2}) &= \frac{L}{2} E_0, \\ \phi(x, y, z = \frac{L}{2}) &= -\frac{L}{2} E_0 \end{aligned} \quad (1)$$

决定. 其中

$$\epsilon(\mathbf{r}) = \epsilon_1 \chi(\mathbf{r}) + \epsilon_2 (1 - \chi(\mathbf{r})) = \epsilon_2 \left(1 - \frac{1}{s} \chi(\mathbf{r}) \right), \quad (2)$$

$$s = \frac{\epsilon_2}{\epsilon_2 - \epsilon_1} \quad (3)$$

是一仅与材料特性有关的参数,

$$\chi(\mathbf{r}) = \begin{cases} 1 & \text{当 } \mathbf{r} \text{ 在介质 1 中} \\ 0 & \text{其他} \end{cases} \quad (4)$$

为介质 1 的指示函数, 反映了材料的微结构.

对上述问题, 我们用 Bergman 方法, 以小球半径为长度单位, 以外电场强度为电场单位, 得到了两种介质中的电势分布表达式为^[3]

* 国家自然科学基金(批准号: 19504009)和上海市科委优秀学科带头人基金和攀登计划资助的课题.

$$\phi = \begin{cases} \sum_{lm} \frac{1}{l^{1/2}} a_{lm} r^l Y_{lm}(\Omega_r) & r \text{ 在小球内,} \\ z + \frac{1}{s} \sum_{lm} \frac{l^{1/2}}{2l+1} a_{lm} \\ \cdot \sum_{\mathbf{R}} \frac{1}{|\mathbf{r} - \mathbf{R}|^{l+1}} Y_{lm}(\Omega_{\mathbf{r}-\mathbf{R}}) & r \text{ 在小球外,} \end{cases} \quad (5)$$

其中 a_{lm} 为展开系数, 满足方程

$$a_{lm} = z_{lm} \delta_{k,0} + \frac{1}{s} \sum_{l'm'} \hat{\Gamma}_{lm, l'm'} a_{l'm'}, \quad (6)$$

其中矩阵

$$\Gamma_{lm, l'm'} = \sum_{\mathbf{R}} \Gamma_{0lm, \mathbf{R}lm}, \quad (7)$$

$\mathbf{R} = \mathbf{R}'$ 时

$$\Gamma_{\mathbf{R}lm, \mathbf{R}'l'm'} = \frac{l}{2l+1} \delta_{ll'} \delta_{mm'}, \quad (8)$$

$\mathbf{R} \neq \mathbf{R}'$ 时

$$\begin{aligned} \Gamma_{\mathbf{R}lm, \mathbf{R}'l'm'} &= (-1)^{l+m'} \left(\frac{1}{\mathbf{R} - \mathbf{R}'} \right)^{l+l'+1} \\ &\cdot \left(\frac{l'l'}{(2l+1)(2l'+1)} \right)^{1/2} \\ &\times \frac{(l+l'+m-m')!}{[(l+m)(l-m)(l'+m')(l'-m')!]^{1/2}} \\ &\times P_{l+l'}^{m-m'}(\cos\theta_{\mathbf{R}-\mathbf{R}'}) \exp[i(m-m')\varphi_{\mathbf{R}-\mathbf{R}'}] \\ &\equiv \Gamma_{lm, l'm'}(\mathbf{R} - \mathbf{R}'). \end{aligned} \quad (9)$$

其含义和求解方法在文献[3]中有详细的叙述;

$Y_{lm}(\Omega_r)$ 为球谐函数, 定义为

$$\begin{aligned} Y_{lm}(\Omega) &= N_{lm} P_l^m(\cos\theta) e^{im\varphi}, \\ P_l^m(\cos\theta) &= (-1)^m \frac{1}{2^l l!} (1 - \cos^2\theta)^{\frac{m}{2}} \\ &\cdot \frac{d^{l+m}}{d(\cos\theta)^{l+m}} (\cos^2\theta - 1)^l, \quad (10) \\ N_{lm} &= \sqrt{\frac{(2l+1)(l-m)!}{4\pi(l+m)!}}. \end{aligned}$$

电场强度 \mathbf{E} 为

$$\mathbf{E} = -\nabla\phi, \quad (11)$$

对位于原点的小球内可以得到

$$\begin{aligned} \mathbf{E}_{\text{in}} &= -\sum_{lm} a_{lm} \frac{1}{\sqrt{l}} r^{l-1} \left[l Y_{lm}(\Omega_r) \mathbf{e}_r + \frac{\partial Y_{lm}(\theta, \varphi)}{\partial\theta} \mathbf{e}_\theta \right. \\ &\left. + \frac{1}{\sin\theta} \frac{\partial Y_{lm}(\theta, \varphi)}{\partial\varphi} \mathbf{e}_\varphi \right], \end{aligned} \quad (12)$$

其中

$$\begin{aligned} \frac{\partial Y_{lm}(\theta, \varphi)}{\partial\theta} &= N_{lm} \left[m \frac{\cos\theta}{\sin\theta} P_l^m(\cos\theta) + P_l^{m+1}(\cos\theta) \right] e^{im\varphi}, \\ \frac{\partial Y_{lm}(\theta, \varphi)}{\partial\varphi} &= im N_{lm} P_l^m(\cos\theta) e^{im\varphi}. \end{aligned} \quad (13)$$

定义矢量球谐函数

$$\begin{aligned} \mathbf{A}_{lm}(\theta, \varphi) &\equiv l Y_{lm}(\theta, \varphi) \mathbf{e}_r + \frac{\partial Y_{lm}(\theta, \varphi)}{\partial\theta} \mathbf{e}_\theta \\ &+ \frac{1}{\sin\theta} \frac{\partial Y_{lm}(\theta, \varphi)}{\partial\varphi} \mathbf{e}_\varphi, \end{aligned} \quad (14)$$

球内电场强度可以写为

$$\mathbf{E}_{\text{in}} = -\sum_{lm} a_{lm} \frac{1}{\sqrt{l}} r^{l-1} \mathbf{A}_{lm}(\theta, \varphi). \quad (15)$$

因 $Y_{lm}(\Omega_{\mathbf{r}-\mathbf{R}})$ 是以 \mathbf{R} 为原点的球谐函数, 对(5)式中的第二个式子直接求梯度, 将得到复杂而不易计算的结果, 为此, 当 $r \leq R$ 时, 可以对 $\frac{1}{|\mathbf{r} - \mathbf{R}|^{l+1}} Y_{lm}(\Omega_{\mathbf{r}-\mathbf{R}})$ 作变换^[6],

$$\begin{aligned} \frac{1}{|\mathbf{r} - \mathbf{R}|^{l+1}} Y_{lm}(\Omega_{\mathbf{r}-\mathbf{R}}) &= \sum_{\lambda} \sum_{\mu=-\lambda}^{\lambda} \frac{2l+1}{\sqrt{l\lambda}} (-1)^{\lambda+\mu} \\ &\cdot \left(\frac{1}{R} \right)^{l+\lambda+1} \left(\frac{l\lambda}{(2l+1)(2\lambda+1)} \right)^{1/2} \\ &\times \frac{(l+\lambda+m-\mu)!}{[(l+m)(l-m)(l+\mu)(l-\mu)!]^{1/2}} \\ &\times P_{l+\lambda}^{\mu-m'}(\cos\theta_{\mathbf{R}}) \exp[i(m-m')\varphi_{\mathbf{R}}] r^\lambda Y_{\lambda\mu}(\Omega_r), \end{aligned} \quad (14)$$

与(9)式中的 Γ 矩阵元的表示式比较, 可以写为

$$\begin{aligned} \frac{1}{|\mathbf{r} - \mathbf{R}|^{l+1}} Y_{lm}(\Omega_{\mathbf{r}-\mathbf{R}}) &= \sum_{\lambda} \sum_{\mu=-\lambda}^{\lambda} \frac{2l+1}{\sqrt{l\lambda}} \\ &\cdot \Gamma_{0\lambda\mu, \mathbf{R}lm} r^\lambda Y_{\lambda\mu}(\Omega_r) \end{aligned} \quad (15)$$

从而(5)式中的第二式可以化简为

$$\begin{aligned} \phi_{\text{out}} &= z + \frac{1}{s} \sum_{lm} \frac{\sqrt{l}}{2l+1} a_{lm} \sum_{\mathbf{R}} \frac{1}{|\mathbf{r} - \mathbf{R}|^{l+1}} Y_{lm}(\Omega_{\mathbf{r}-\mathbf{R}}) \\ &= z + \frac{1}{s} \sum_{lm} a_{lm} \sum_{\mathbf{R} \neq 0} \sum_{\lambda\mu} \frac{1}{\sqrt{\lambda}} \Gamma_{0\lambda\mu, \mathbf{R}lm} r^\lambda Y_{\lambda\mu}(\Omega_r) \\ &\quad + \frac{1}{s} \sum_{lm} a_{lm} \frac{\sqrt{l}}{2l+1} \frac{1}{r^{l+1}} Y_{lm}(\Omega_r) \\ &= z + \frac{1}{s} \sum_{lm} a_{lm} \sum_{\lambda\mu} \frac{1}{\sqrt{\lambda}} \sum_{\mathbf{R}} (\Gamma_{0\lambda\mu, \mathbf{R}lm} - \Gamma_{0\lambda\mu, 0lm}) \\ &\quad \cdot r^\lambda Y_{\lambda\mu}(\Omega_r) + \frac{1}{s} \sum_{lm} a_{lm} \frac{\sqrt{l}}{2l+1} \frac{1}{r^{l+1}} Y_{lm}(\Omega_r) \\ &= z + \frac{1}{s} \sum_{lm} a_{lm} \sum_{\lambda\mu} \frac{1}{\sqrt{\lambda}} \Gamma_{\lambda\mu, lm} r^\lambda Y_{\lambda\mu}(\Omega_r) \\ &\quad - \frac{1}{s} \sum_{lm} a_{lm} \frac{\sqrt{l}}{2l+1} r^l Y_{lm}(\Omega_r) \\ &\quad + \frac{1}{s} \sum_{lm} a_{lm} \frac{\sqrt{l}}{2l+1} \frac{1}{r^{l+1}} Y_{lm}(\Omega_r) \\ &= \sum_{lm} a_{lm} \frac{1}{\sqrt{l}} r^l Y_{lm}(\Omega_r) - \frac{1}{s} \sum_{lm} a_{lm} \frac{\sqrt{l}}{2l+1} r^l Y_{lm}(\Omega_r) \end{aligned}$$

$$+ \frac{1}{s} \sum_{lm} a_{lm} \frac{\sqrt{l}}{2l+1} \frac{1}{r^{l+1}} Y_{lm}(\Omega_r). \quad (16)$$

在推导中第三行到第四行利用了(8)式,最后一个等号使用了文献3中的(5)式.现在可以求 ϕ_{out} 对 r, θ, φ 的梯度,利用(13)(14)式可得

$$\begin{aligned} \mathbf{E}_{out} = & - \sum_{lm} a_{lm} \left[\frac{1}{\sqrt{l}} - \frac{\sqrt{l}}{s(2l+1)} \right] r^{l-1} \mathbf{A}_{lm}(\theta, \varphi) \\ & - \frac{1}{s} \sum_{lm} a_{lm} \frac{\sqrt{l}}{2l+1} r^{-(l+2)} \mathbf{B}_{lm}(\theta, \varphi), \quad (17) \end{aligned}$$

其中 $\mathbf{B}(\theta, \varphi)$ 为另一类矢量球谐函数,定义为

$$\mathbf{B}_{lm}(\theta, \varphi) = -(2l+1)Y_{lm}(\theta, \varphi)\mathbf{e}_r + \mathbf{A}_{lm}(\theta, \varphi). \quad (18)$$

Clercx 等人^[7]也曾用多极展开方法得到过复合介质中电场强度的公式,但其公式含有外电场项,公式形式也较繁.

在小球表面上

$$\begin{aligned} [\mathbf{D}_{out} - \mathbf{D}_{in}] \cdot \mathbf{e}_{|r|=1} &= \epsilon_2 \mathbf{E}_{out} - \epsilon_1 \mathbf{E}_{in} \\ &= -(\epsilon_2 - \epsilon_1) \sum_{lm} a_{lm} \sqrt{l} Y_{lm}(\theta, \varphi) \\ &+ \frac{\epsilon_2}{s} \frac{\sqrt{l}}{2l+1} (2l+1) Y_{lm}(\theta, \varphi) \\ &= 0, \quad (19) \end{aligned}$$

这正是边界条件所要求的.

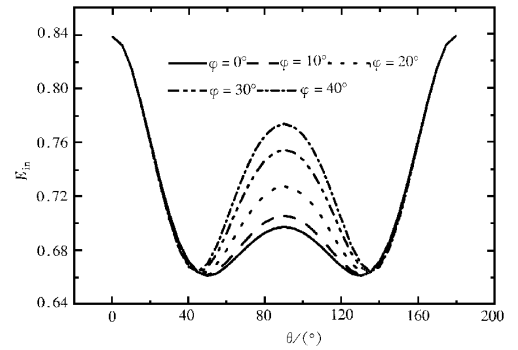
小球的表面极化电荷密度为

$$\begin{aligned} \sigma_p &= -[\mathbf{P}_{out} - \mathbf{P}_{in}]_{|r|=1} \cdot \mathbf{e}_r \\ &= -\frac{1}{4\pi} [(\epsilon_2 - 1)\mathbf{E}_{out} - (\epsilon_1 - 1)\mathbf{E}_{in}]_{|r|=1} \cdot \mathbf{e}_r \\ &= \frac{1}{4\pi} [\mathbf{E}_{out} - \mathbf{E}_{in}]_{|r|=1} \cdot \mathbf{e}_r \\ &= \frac{1}{4\pi} \frac{1}{s} \sum_{lm} a_{lm} \sqrt{l} Y_{lm}(\theta, \varphi). \quad (20) \end{aligned}$$

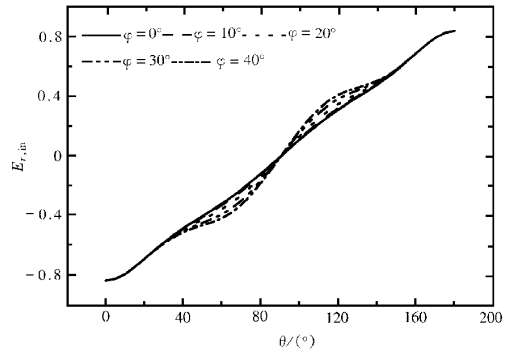
a_{lm} 由线性方程组(6)求出,利用(12)(17), (20)式通过简单求和可得到小球内外的电场强度和表面极化电荷密度.

3 结 果

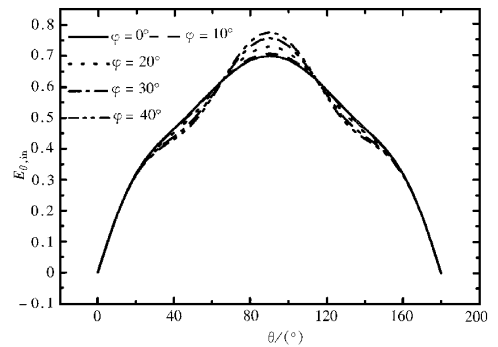
利用上节的公式,我们计算小球排列为 BCT 结构时的电场强度.具体计算中的一些技术上的问题,已经在文献3中解决,这一计算过程没有困难.为了验证(16)式的正确性,我们用(16)式计算了 BCT 结构和正方结构的电势分布,并与利用(5)式得到的结果作了比较,结果完全一致.利用(5)式计算时要对空间所有小球求和,速度较慢,而(16)式无需对 \mathbf{R} 求和,计算量小了很多.



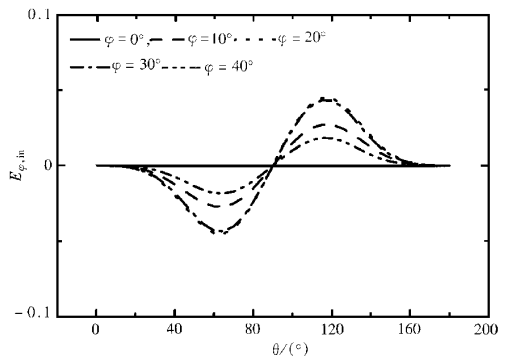
(a)



(b)

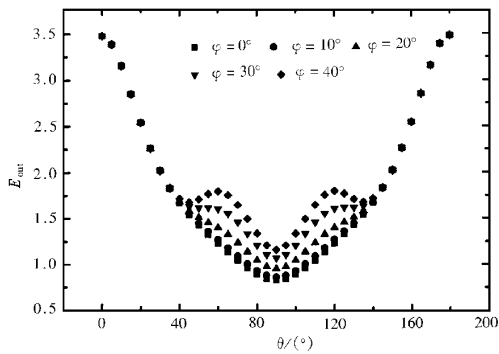


(c)

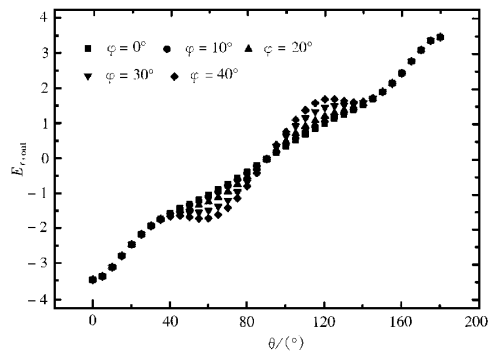


(d)

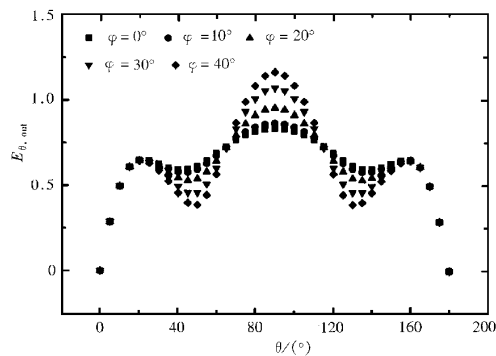
图1 $r=0.9$ 球面上的电场分布, $\epsilon_1=10, \epsilon_2=2.5$



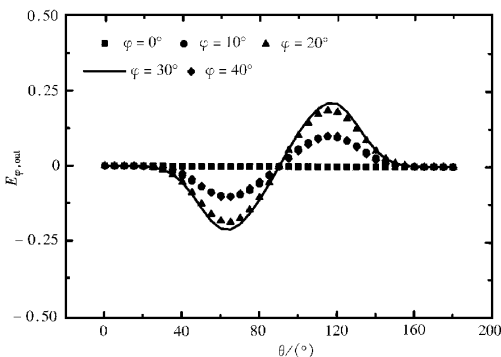
(a)



(b)



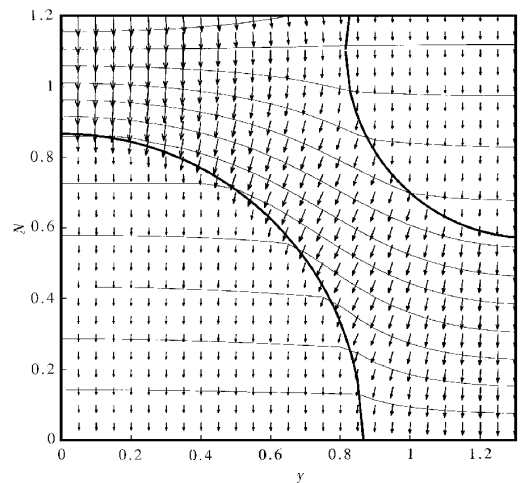
(c)



(d)

图2 $r=1.1$ 球面上的电场分布, 参数同图1

因空间周期性, 我们只需计算了一个原胞中的电场情况. 计算时, 取液体的介电常数为 2.5, 小球的介电常数为 10. 由于 BCT 结构具有绕 z 轴的四度对称轴和对 xy 平面的镜象对称, 因此只需计算出八分之一原胞中的电场强度, 为了看出结果的对称性及检验结果确实满足对称性的要求, 我们对整个原胞作了计算并给出四分之一原胞中的计算结果. 图 1 和图 2 的 (a)(b)(c)(d) 分别给出了 $r=0.9$ 和 $r=1.1$ 的球面上电场强度的大小和 E_r , E_θ 和 E_ϕ 的值. 与偶极近似不同, 球内电场不再是匀强电场, 但电场变化较为缓慢, 在小球距离较远时, 接近均匀电场, 如果把 E_r , E_θ 和 E_ϕ 转化为 E_x , E_y 和 E_z , E_x , E_y 的值很小, 电场基本上沿 z 方向. 小球越接近, 球内的不均匀程度越明显. 在 $\theta=50^\circ$ 和 $\theta=130^\circ$ 方向电场强度最小, 这些方向正好为周围邻近小球所在方向, 这表现了极化小球之间的相互影响, 与之相应, E_r , E_θ , E_ϕ 在这些方向也出现了极值与拐点. 球外电场变化幅度较大, 电场方向变化也大, 小球的上下两端电场强度最大, 同样在其他小球所在方向上, 电场出现了极值和拐点. 为了显示电场的概貌, 图 3 给出了 $x=0.5$ 面上的等势线和电场强度分布图.

图3 $x=0.5$ 平面上的等势线和电场, 参数同图1

小球表面极化电荷分布如图 4 所示, 小球间距 $\delta=(R-a)\sqrt{2}$ ($2R$ 为最邻近小球球心的距离) 越大, 表面极化电荷分布越接近偶极子的电荷分布形式, 即余弦分布.

为了定量考察小球间距对表面极化电荷和电场分布的影响, 定义下述无量纲量

$$\gamma_c = \sum_{lm \neq 1, 0} \frac{a_{lm}}{a_{10}}, \quad (21)$$

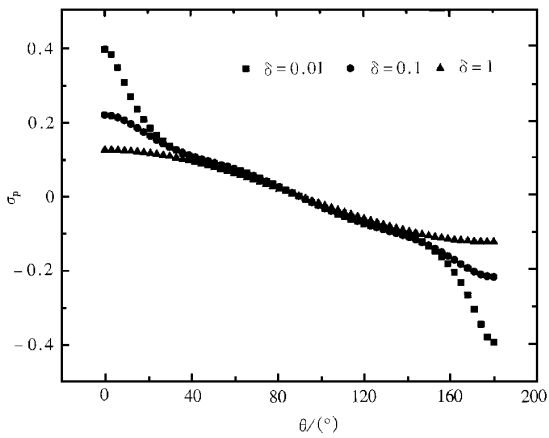


图 4 不同 δ 时表面电荷随 θ 角的变化 ($\varphi = 0^\circ$), 参数同图 1

$$\gamma_F = \frac{\int_{\text{球内}} (E - \bar{E})^2 dV}{\bar{E}^2} \quad (22)$$

其中 $\bar{E} = \int_{\text{球内}} E dV$. γ_c 代表高阶多极矩的贡献与偶极矩贡献之比, γ_F 代表球内电场的均匀度, 反映了高阶矩的贡献. 图 5 和图 6 画出了 $\epsilon_1/\epsilon_2 = 4$ 时 γ_c, γ_F 与 δ 的关系, 这两种关系具有类似的形式. 在

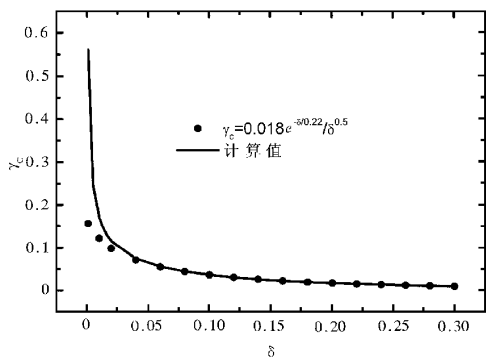


图 5 γ_c 随 δ 的变化 参数同图 1

$\delta > 0.04$ 时 γ_c 与 δ 的关系可近似描述为

$$\gamma_c = 0.018e^{-\frac{\delta}{0.22}/\sqrt{\delta}} \quad (23)$$

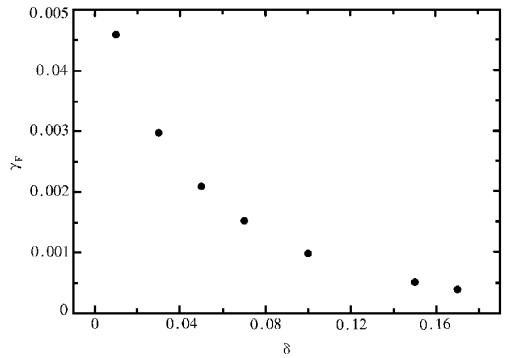


图 6 γ_F 随 δ 的变化 参数同图 1

为了与计算值比较, 图 5 中同时画出了上式的曲线, $\delta > 0.04$ 时, 计算得到的点与上述曲线重合. 当 $\delta \gg 0.2$ 时, 高阶矩的贡献可以忽略不计. 而实际的电流变系统, 发生相分离时, 颗粒之间距离很小, 采用偶极近似是很粗糙的. 要解决电流变液的动力学模拟问题, 必需考虑多极相互作用的影响.

本文简化了文献 [3] 的结果, 给出了计算电场强度的公式, 以 BCT 结构为例做了数值计算, 并利用所得结果定量讨论了小球间距 δ 与高阶多极矩贡献之间的关系, 给出了偶极近似的可用范围.

[1] W. M. Winslow, Methods and means for translation electrical impulses into mechanical force. US Patent No. 2417850, 1947.
 [2] W. M. Winslow *J. Appl. Phys.* **20**(12) (1949), 1137.
 [3] X. T. Li, H. R. Ma, *Acta Physica Sinica*, **48**(1999), 461 (in Chinese) 李向亭, 马红孺, *物理学报*, **48**(3) (1999) 461.
 [4] D. J. Bergman in "Solid State Physics", Vol. 46, edited By H. Ehrenreich and D. Turnbull (Academic Press, New York, 1992) p. 147.
 [5] G. W. Milton, *Appl. Phys.*, **A26**(1981), 1207; *J. Appl. Phys.* **52**(1980) 5286.
 [6] H. R. Ma in "Complex Fluids (III) and Theoretical Approaches" CCAST-WL Workshop Series: Vol. 87 (CCAST, Beijing, 1998) p. 197.
 [7] H. J. H. Clercx, G. Bossis, *Phys. Rev.* **B48**(1993) 2721.

ELECTROSTATIC FIELD IN ELECTORRHEOLOGICAL FLUIDS :A SEMI-ANALYTICAL METHOD^{*}

LI XIANG-TING MA HONG-RU

(*Department of Applied Physics ,Shanghai Jiaotong University ,Shanghai 200240 ,China*)

(Received 7 November 1999)

ABSTRACT

Based on the Bergman 's representation ,a semi-analytical method for the calculation of electrostatic field in electrorheological fluids was presented. The electric field for BCT structure was calculated as an example. The multipole contribution as a function of the separation of particles was discussed quantitatively and the range of validity of dipole approximation was given.

PACC : 4120 8370 0270

^{*} Project supported by the National Natural Science Foundation of China (Grant No. 19504009).